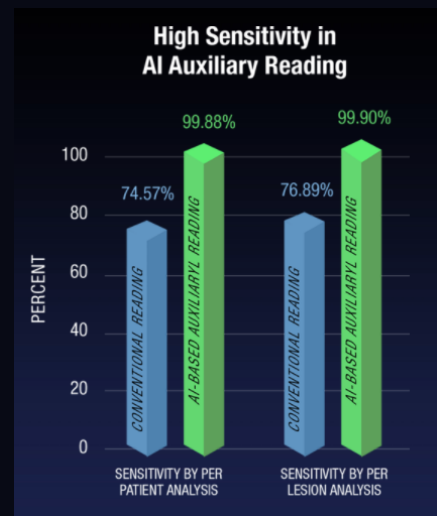


# NaviCam SB con *Inteligencia Artificial ProScan™*

La lectura auxiliar con la aplicación de la inteligencia artificial de ProScan™, identificó las anomalías con una sensibilidad del **99,88%** en el análisis por paciente y del **99,90%** en el análisis por lesión, en comparación con el análisis convencional\*, aumentando la eficiencia de la revisión del análisis en un **25%**.

\*La lectura convencional por parte de los gastroenterólogos identificó las anomalías con una sensibilidad del **74,57%** en el análisis por paciente y del **76,89%** en el análisis por lesión.

**FIGURA 1:** La sensibilidad de la lectura SB-CE en la lectura convencional y la lectura auxiliar basada en IA. (A) La sensibilidad en el análisis por paciente en la lectura convencional (azul) y en la lectura auxiliar basada en IA (verde). (B) La sensibilidad en el análisis por lesión en la lectura convencional (azul) y en la lectura auxiliar basada en IA (verde).



NaviCam SB con Inteligencia Artificial ProScan™ permite recortar drásticamente el tiempo necesario para la lectura del análisis al hacer una revisión completa de forma automática seleccionando los hallazgos con una gran sensibilidad para una posterior validación.



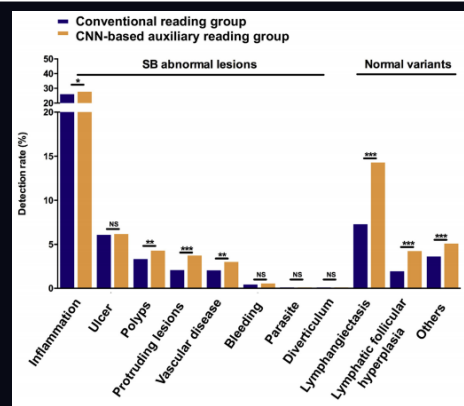
El tiempo medio de lectura por paciente fue de  $96,6 \pm 22,53$  minutos con la lectura convencional y de  $5,9 \pm 2,23$  minutos con la lectura auxiliar basada en la IA ( $P < .001$ ).

**FIGURA 2:** El tiempo medio de lectura de las imágenes SB-CE por el grupo de lectura convencional (azul) y por la lectura auxiliar basada en IA (verde). \*\*\* $P < .0001$ .

## La tasa de detección total aumentó un 16,34% mediante la lectura auxiliar basada en IA

Se realizó un análisis secundario de las lesiones clínicamente significativas y las variantes normales, y los resultados mostraron que la **tasa de detección total aumentó un 16,34%** mediante lectura auxiliar basada en IA en comparación con la lectura convencional (**70,91% frente a 54,57%**), un **5,57%** en el caso de las lesiones anómalas del intestino delgado y un **10,77%** en el caso de las variantes normales\*.

**FIGURA 3:** La tasa de detección de lesiones anormales o variantes normales de SB en el grupo de lectura convencional (azul) y en el grupo de lectura auxiliar basada en IA (amarillo). \* $P < .05$ , \*\* $P < .01$ , \*\*\* $P < .0001$ . NS, sin significación.



## Lesiones en el intestino delgado identificadas con NaviCam SB

- Izquierda: imagen original
- Centro: mapa de calor con IA
- Derecha: fusión de las dos imágenes

- A: Inflamación
- B: Pólipos
- C: Úlceras
- D: Linfangiectasia
- E: Hiperplasia folicular linfática
- F: Divertículo
- G: Parasito
- H: Lesión Protusiva
- I: Sangrado
- J: Enfermedad Vascolar

